

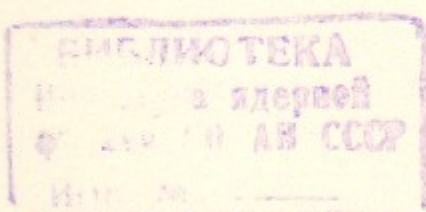
В.84

СИБИРСКОЕ ОТДЕЛЕНИЕ АН СССР

ИНСТИТУТ ЯДЕРНОЙ ФИЗИКИ

Т.А.Всеволожская

ХРОМАТИЧЕСКАЯ АБЕРРАЦИЯ ЛИНЗ
С БОЛЬШИМ УГЛОВЫМ АКЦЕПТАНСОМ



ПРЕПРИНТ 80-221



Новосибирск

ХРОМАТИЧЕСКАЯ АБЕРРАЦИЯ ЛИНЗ С БОЛЬШИМ
УГЛОВЫМ АКЦЕНТАНСОМ

Т.А.Всеволожская

АННОТАЦИЯ

В работе рассматривается искажение эмитанса пучка частиц за счет хроматической aberrации фокусирующих линз. Выводится условие ограничивающее длину фокусного расстояния линзы при светосильной фокусировке. На примере проекта **FNAL /I,2/** определяются потери в эффективности захвата антипротонов при использовании для их сортирования с мишени триплета квадрупольей.

При фокусировке пучков частиц с большой угловой расходностью становится существенным вопрос об аберрациях фокусирующих систем. Угол поворота частиц в линзе в этом случае достаточно велик, так что разброс его, обусловленный аберрациями, может оказаться сравнимым или большим разброса фазовых углов в пучке, что приведет к заметному увеличению его эмитанса.

Хроматическая аберрация обусловлена зависимостью от энергии частицы угла ее поворота в линзе. При угле поворота α разброс импульсов частиц Δp приводит к появлению углового разброса $\Delta\alpha_{chr} \propto \alpha \frac{\Delta p}{p}$, который складывается с собственным угловым разбросом пучка $\Delta\alpha_g$, и для того, чтобы избежать существенного увеличения его эмитанса, нужно удовлетворить условию $\Delta\alpha_{chr} < \Delta\alpha_g$. Для заданного эмитанса E угловой разброс $\Delta\alpha_g$ определяется значением бета-функции пучка в линзе β как $\Delta\alpha_g = \sqrt{\frac{E}{\beta}}$, угол поворота α — значением бета-функции в источнике β_0 как $\alpha = \sqrt{\frac{E}{\beta_0}}$, так что упомянутое выше условие имеет вид:

$$\sqrt{\frac{E}{\beta_0}} \cdot \left| \frac{\Delta p}{p} \right| < \sqrt{\frac{E}{\beta}}, \text{ т.е. } \sqrt{\frac{\beta}{\beta_0}} \cdot \left| \frac{\Delta p}{p} \right| < 1$$

В случае тонкой линзы β определяется фокусным расстоянием f как $\beta = \beta_0 + \frac{f^2}{\beta_0} \approx \frac{f^2}{\beta_0}$ и мы получаем ограничение на фокусное расстояние линзы в виде $\frac{f}{\beta_0} \cdot \left| \frac{\Delta p}{p} \right| < 1$. В общем случае, если преобразование пучка фокусирующей системой описывается матрицей (M) как $(X) = (M)(X_0)$, где (X_0) и (X) — матрицы параметров пучка, соответственно, на выходе и входе системы, прирост углов и координат на выходе за счет хроматической аберра-

ции (ΔX) описывается матрицей (M'), производной от дифференцирования (M) по импульсу,

$$(M') = P \frac{d(M)}{dP} \quad \text{т.е.} \quad (\Delta X) = \frac{\Delta P}{P} (M')(X_0)$$

Чтобы оценить влияние хроматической aberrации найдем обусловленное ею увеличение эмитанса пучка. При этом прирост углов и координат удобно выразить в виде эффективного значения его в источнике пучка (ΔX_0) путем преобразования матрицы (ΔX) с выхода системы ко входу, а именно

$$(\Delta X_0) = (M)^{-1} (\Delta X) = \frac{\Delta P}{P} \cdot (M)^{-1} (M')(X_0) \quad (*)$$

Пусть источник пучка частиц характеризуется средними значениями квадрата углов, квадрата координат и произведения координат на углы $\langle \alpha_0^2 \rangle$, $\langle X_0^2 \rangle$ и $\langle \alpha_0 X_0 \rangle$. Тогда эффективный эмитанс пучка ε_0 определяется как $\varepsilon_0 = \sqrt{\langle X_0^2 \rangle \langle \alpha_0^2 \rangle - \langle \alpha_0 X_0 \rangle^2}$. В отсутствие корреляции углов и координат (кроссовер) $\langle \alpha_0 X_0 \rangle = 0$ и $\varepsilon_0 = \sqrt{\langle X_0^2 \rangle \langle \alpha_0^2 \rangle}$. С учетом эффективного прироста углов и координат в источнике за счет хроматической aberrации в соответствии с (*) получаем

$$\begin{aligned} \langle (X_0 + \Delta X_0)^2 \rangle &= \langle X_0^2 \rangle + \left\langle \left(\frac{\Delta P}{P} \right)^2 \right\rangle (a_{11}^2 \langle X_0^2 \rangle + a_{12}^2 \langle \alpha_0^2 \rangle) \\ \langle (\alpha_0 + \Delta \alpha_0)^2 \rangle &= \langle \alpha_0^2 \rangle + \left\langle \left(\frac{\Delta P}{P} \right)^2 \right\rangle (a_{21}^2 \langle X_0^2 \rangle + a_{22}^2 \langle \alpha_0^2 \rangle) \\ \langle (\alpha_0 + \Delta \alpha_0)(X_0 + \Delta X_0) \rangle &= \left\langle \left(\frac{\Delta P}{P} \right)^2 \right\rangle (a_{11} a_{21} \langle X_0^2 \rangle + a_{22} a_{12} \langle \alpha_0^2 \rangle), \end{aligned}$$

где a_{ij} – элементы матрицы $(M')_0 = (M)^{-1} \cdot (M')$. Здесь мы воспользовались независимостью углов, координат и импульсов частиц в исходном пучке, так что

$$\langle \alpha_0 X_0 \rangle, \langle \alpha_0 \Delta P \rangle, \langle X_0 \Delta P \rangle = 0, \quad \langle X_0^2 \cdot \left(\frac{\Delta P}{P} \right)^2 \rangle = \langle X_0^2 \rangle \left\langle \left(\frac{\Delta P}{P} \right)^2 \right\rangle \quad \text{и т.д.}$$

Эффективный эмитанс пучка с учетом влияния aberrации есть

$$\varepsilon = \varepsilon_0 \sqrt{1 + \left\langle \left(\frac{\Delta P}{P} \right)^2 \right\rangle (a_{11}^2 + a_{22}^2 + \beta_0^2 a_{21}^2 + \frac{a_{12}^2}{\beta_0^2}) + \left\langle \left(\frac{\Delta P}{P} \right)^2 \right\rangle \cdot \Delta^2} \quad (***)$$

где β_0 – эффективное значение бета-функции пучка в источнике
 $\beta_0 = \sqrt{\frac{\varepsilon_0}{\langle \alpha_0^2 \rangle}}$, Δ – детерминант матрицы $(M')_0$.

При фокусировке тонкой линзой с фокусным расстоянием f , линейно зависящим от импульса частиц $f \propto P$, матрица (M') равна $\begin{pmatrix} -1 & f \\ 1/f & 1 \end{pmatrix}$ (источник расположен в главном фокусе линзы для частиц с $\Delta P = 0$) и соотношение (**) имеет вид

$$\varepsilon = \varepsilon_0 \sqrt{1 + \left\langle \left(\frac{\Delta P}{P} \right)^2 \right\rangle (2 + \frac{\beta_0^2}{f^2} + \frac{f^2}{\beta_0^2})}$$

Если фокусирующая система представляет собой квадрупольный триплет, описываемый матрицей (M)

$$(M) = (m_3)(D_2)(m_2)(D_1)(m_1)(D_0)$$

где m_i – матрицы единичных квадруполей, D_i – промежутков между источником и входом в триплет и между квадруполями. Матрица (M') находится как

$$\begin{aligned} (M') = & ((m'_3)(D_2)(m_2)(D_1)(m_1) + \\ & + (m_3)(D_2)(m'_2)(D_1)(m_1) + \\ & + (m_3)(D_2)(m_2)(D_1)(m'_1))(D_0) \end{aligned}$$

где (m'_i) – производные от дифференцирования по импульсу матриц отдельных квадруполей $(m'_i) = P \frac{d(m_i)}{dP}$, равные

$$(m'_i) = -\frac{1}{2} \left(-\psi_i \sin \psi_i \frac{1}{\sqrt{\kappa_i}} (\psi_i \cos \psi_i - \sin \psi_i) \right. \\ \left. - \sqrt{\kappa_i} (\psi_i \cos \psi_i + \sin \psi_i) - \psi_i \sin \psi_i \right)$$

в плоскости фокусировки

$$\text{и} \quad (m'_i) = -\frac{1}{2} \left(\psi_i \operatorname{sh} \psi_i \frac{1}{\sqrt{\kappa_i}} (\psi_i \operatorname{ch} \psi_i - \operatorname{sh} \psi_i) \right) \\ \left. \sqrt{\kappa_i} (\psi_i \operatorname{ch} \psi_i + \operatorname{sh} \psi_i) \psi_i \operatorname{sh} \psi_i \right)$$

- в плоскости фокусировки. Здесь $\psi_i = \sqrt{K_i} l_i$, $K_i = G_i \frac{e}{pc}$, G_i и l_i - градиенты поля и длины квадрупольей.

Рассмотрим в качестве примера хроматическую aberrацию квадрупольного триплета, предложенного для собирания антипротонов с мишени в проекте источника антипротонов высокой энергии ФНАЛ / 1 /. Квадруполя, составляющие триплет, имеют длины $l_1 = l_2 = l_3 = 0,95$ м промежутки $D_0 = 0,536$ м (от эффективного источника антипротонного пучка в середине мишени до входного края триплета), $D_1 = 0,775$ м, $D_2 = 0,626$ м и значения параметра K - $K_1 = K_2 = 0,923 \text{ м}^{-2}$, $K_3 = 0,564 \text{ м}^{-2}$. Матрицы (M) в каждом из поперечных направлений равны

$$(M_x) = \begin{pmatrix} 0,792 & 2,18 \\ -0,490 & -0,0863 \end{pmatrix}, (M_y) = \begin{pmatrix} -2,06 & 3,76 \\ -0,088 & -0,324 \end{pmatrix},$$

матрицы (M') -

$$(M'_x) = \begin{pmatrix} 2,55 & 4,98 \\ 2,37 & 3,73 \end{pmatrix}, (M'_y) = \begin{pmatrix} 4,03 & 2,32 \\ -0,975 & 1,24 \end{pmatrix}$$

и матрицы (M')₀ -

$$(M'_x)_0 = \begin{pmatrix} -5,40 & -8,56 \\ 3,13 & 5,40 \end{pmatrix}, (M'_y)_0 = \begin{pmatrix} 2,36 & -5,43 \\ 2,37 & 2,36 \end{pmatrix}.$$

Значение бета-функции в эффективном источнике β_0 определяется длиной мишени l_0 как $\beta_0 = \frac{l_0 \sqrt{3}}{2\sqrt{3}}$, т.е. $\beta_0 \approx 0,02$ м при $l_0 = 7$ см. Подстановка этого значения β_0 и элементов матриц (M')₀ в выражение (ж) дает увеличение эмитанса по каждому из поперечных направлений в отношениях

$$\varepsilon_x/\varepsilon_{ox} = \sqrt{1 + \langle (\frac{\Delta p}{p})^2 \rangle \cdot 1.8 \cdot 10^5}$$

$$\varepsilon_y/\varepsilon_{oy} = \sqrt{1 + \langle (\frac{\Delta p}{p})^2 \rangle \cdot 7.5 \cdot 10^4}$$

Если $\frac{\Delta p}{p} = \pm 2 \cdot 10^{-3}$, влиянием хроматической aberrации можно пренебречь, если же $\frac{\Delta p}{p} = \pm 2 \cdot 10^{-2}$ ($\langle (\frac{\Delta p}{p})^2 \rangle = \frac{4}{3} \cdot 10^{-4}$), увеличение эмитанса составляет $\varepsilon_x/\varepsilon_{ox} = 5$ и $\varepsilon_y/\varepsilon_{oy} = 3,3$ раз. Численное моделирование эффективности захвата антипротонов с импульсом

$4,5 \text{ ГэВ/с}$ и разбросом $\frac{\Delta p}{p} = \pm 2 \cdot 10^{-2}$ в акцептакс $\varepsilon_x^{(a)} = \varepsilon_y^{(a)} = 5 \cdot 10^{-6}$ м.рад обнаруживает уменьшение ее за счет хроматической aberrации триплета в 3 + 4 раза (для значений β - функции акцептанса $2+1$ см), что согласуется с полученным увеличением эмитанса пучка, поскольку эффективность захвата F пропорциональна квадратному корню из отношения произведений значений акцептанса по каждому из поперечных направлений к произведению значений эмитанса, $F \propto \sqrt{\frac{\varepsilon_x^{(a)} \cdot \varepsilon_y^{(a)}}{\varepsilon_x \cdot \varepsilon_y}}$. Если собирание пучка с мишени производится аксиально-симметричной линзой с фокусным расстоянием $f = 20$ см (литиевая линза), увеличение эмитанса по каждому из направлений при $\frac{\Delta p}{p} = \pm 2 \cdot 10^{-2}$ составляет $\sim 1\%$ и такого же порядка уменьшение эффективности захвата.

Таким образом, хроматическая aberrация при светосильной фокусировке пучков частиц с большим энергетическим разбросом налагивает серьезные ограничения на величину фокусного расстояния линзы или, иными словами, на величину преобразования его β -функции пучка. Аналогичные ограничения могут возникать и за счет других aberrаций - aberrаций от нелинейности поля, краевых эффектов и т.д. Количественная оценка их влияния требует знания реальной топографии поля линзы.

Л и т е р а т у р а:

1. Beam Transport and Target system for pp and pp> Colliding Beams, FNAL 06/20/78
2. Design Report. The Fermilab High Intensity Antiproton Source, FNAL, October, 1979
3. Б.Ф.Баянов и др. Труды У Всесоюзного совещания по ускорителям заряженных частиц, т.II, 101, 1977.